

ÉLÉMENTS DE COMPTAGE SUR LES GÉNÉRATEURS DU GROUPE MODULAIRE ET LES λ -QUIDDITÉS

FLAVIEN MABILAT

RÉSUMÉ. L'objectif de cet article est de compter les n -uplets d'éléments (a_1, \dots, a_n) d'entiers strictement positifs solutions de l'équation $\begin{pmatrix} a_n & -1 \\ 1 & 0 \end{pmatrix} \begin{pmatrix} a_{n-1} & -1 \\ 1 & 0 \end{pmatrix} \cdots \begin{pmatrix} a_1 & -1 \\ 1 & 0 \end{pmatrix} = \pm M$ lorsque M est égal aux générateurs du groupe modulaire $S = \begin{pmatrix} 0 & -1 \\ 1 & 0 \end{pmatrix}$ et $T = \begin{pmatrix} 1 & 1 \\ 0 & 1 \end{pmatrix}$. Pour faire cela, on va s'intéresser aux λ -quiddités, qui sont les solutions de l'équation lorsque $M = Id$ (liées aux frises de Coxeter), dont la dernière composante est fixée.

ABSTRACT. The aim of this article is to count the n -tuples of positive integers (a_1, \dots, a_n) solutions of the equation $\begin{pmatrix} a_n & -1 \\ 1 & 0 \end{pmatrix} \begin{pmatrix} a_{n-1} & -1 \\ 1 & 0 \end{pmatrix} \cdots \begin{pmatrix} a_1 & -1 \\ 1 & 0 \end{pmatrix} = \pm M$ when M is equal to the generators of the modular group $S = \begin{pmatrix} 0 & -1 \\ 1 & 0 \end{pmatrix}$ and $T = \begin{pmatrix} 1 & 1 \\ 0 & 1 \end{pmatrix}$. To count these elements, we will study the λ -quiddities, which are the solutions of the equation in the case $M = Id$ (related to Coxeter's friezes), whose last component is fixed.

Mots clés : groupe modulaire ; générateurs ; 3d-dissection ; quiddité.

« *L'esprit n'avance que s'il a la patience de tourner en rond, c'est-à-dire d'approfondir.* »
Emil Cioran, *Le mauvais démiurge*.

1. INTRODUCTION

Le groupe modulaire

$$SL_2(\mathbb{Z}) = \left\{ \begin{pmatrix} a & b \\ c & d \end{pmatrix} \mid a, b, c, d \in \mathbb{Z}, ad - bc = 1 \right\}$$

a été l'objet de très nombreux travaux et compte parmi les objets mathématiques les plus étudiés. Ceci s'explique par ses multiples et fructueuses applications ainsi que par les remarquables propriétés que lui et ses sous-groupes vérifient. Parmi celles-ci, l'une des plus utiles, et des plus anciennes, est l'existence de parties génératrices à seulement deux éléments. Il existe de nombreux couples de matrices qui peuvent jouer ce rôle, mais on se concentrera avant tout dans ce texte sur les deux éléments suivants :

$$T = \begin{pmatrix} 1 & 1 \\ 0 & 1 \end{pmatrix}, S = \begin{pmatrix} 0 & -1 \\ 1 & 0 \end{pmatrix}.$$

Key words and phrases. modular group, generators, 3d-dissection, quiddity.

Ce choix est particulièrement intéressant car il permet d'obtenir une expression remarquable des matrices du groupe modulaire. En effet, on peut montrer (voir par exemple l'introduction de [9]) que pour tout $A \in SL_2(\mathbb{Z})$, il existe un entier strictement positif n et des entiers strictement positifs a_1, \dots, a_n tels que :

$$A = T^{a_n} S T^{a_{n-1}} S \dots T^{a_1} S = \begin{pmatrix} a_n & -1 \\ 1 & 0 \end{pmatrix} \begin{pmatrix} a_{n-1} & -1 \\ 1 & 0 \end{pmatrix} \dots \begin{pmatrix} a_1 & -1 \\ 1 & 0 \end{pmatrix} := M_n(a_1, \dots, a_n).$$

Toutefois, il convient de noter que cette façon d'exprimer les matrices du groupe modulaire n'est pas unique (même s'il est possible en rajoutant la condition n minimal d'avoir une forme d'unicité, voir [13] section 6). En effet, on dispose, par exemple, des deux écritures de $-Id$ donnée ci-dessous :

$$-Id = M_3(1, 1, 1) = M_4(1, 2, 1, 2).$$

Par ailleurs, les matrices $M_n(a_1, \dots, a_n)$ apparaissent dans de nombreux autres domaines. Elles jouent notamment un rôle décisif dans la construction des frises de Coxeter et interviennent également dans un certain nombre de problèmes, tels que l'écriture matricielle des équations de Sturm-Liouville discrètes ou l'expression des réduites des fractions continues de Hirzebruch-Jung (voir par exemple l'introduction de [14]). Dans ce dernier cas, on peut même considérer que les matrices $M_n(a_1, \dots, a_n)$ offrent une généralisation judicieuse des fractions continues négatives.

Ces nombreuses applications et l'absence d'unicité évoquée plus haut incitent naturellement à chercher les différentes écritures associées à une matrice, ou un ensemble de matrices, fixé. Plus précisément, on va s'intéresser ici pour une matrice M donnée à l'équation ci-dessous :

$$(E_M) \quad M_n(a_1, \dots, a_n) = \pm M.$$

On dira, en particulier, qu'une solution de (E_M) est de taille n si cette solution est un n -uplet d'éléments de \mathbb{N}^* . Lorsque $M = Id$, l'équation (E_M) est appelée équation de Conway-Coxeter et ses solutions, qui sont étroitement liées à la construction des frises de Coxeter (voir par exemple [6]), sont désignées par le terme λ -quiddité¹. Ces dernières ont été étudiées par V. Ovsienko qui a fourni une construction récursive et une description combinatoire de ces solutions utilisant des découpages de polygones (voir [14] et la section suivante), généralisant ainsi un théorème antérieur dû à Conway et Coxeter (voir [4] pour le résultat initial et [13] Théorème 3.3 pour un énoncé correspondant au point de vue adopté ici). Grâce à celle-ci, C. Conley et V. Ovsienko ont obtenu des formules permettant de compter l'ensemble des λ -quiddités de taille fixée (voir [3] et la section suivante). Notons qu'il existe également d'autres formules de comptage qui permettent de connaître le nombre de solutions de (E_{Id}) lorsque les a_i appartiennent à certains anneaux commutatifs unitaires finis (voir notamment les trois preuves différentes des formules de comptage sur $\mathbb{Z}/p^n\mathbb{Z}$ présentes dans [1, 2, 12]). Par ailleurs, de nombreux autres éléments sur ces solutions ont également été obtenues (voir par exemple [5, 6, 10, 11]).

Au vu de la définition des matrices $M_n(a_1, \dots, a_n)$, il est naturel de chercher des résultats analogues pour les matrices S et T qui sont à l'origine de l'expression particulière des éléments du groupe modulaire sur laquelle on se penche dans ce texte. On dispose déjà d'une construction récursive des solutions de (E_S) et de (E_T) et d'une description combinatoire de celles-ci (voir [9] et la section 3.1). L'objectif de cet article est de compter ces solutions, et d'utiliser les méthodes employées pour obtenir le nombre de

1. En général, pour éviter les confusions, on précise l'ensemble sur lequel on travaille. Ici, on restera exclusivement sur les entiers strictement positifs. Aussi, afin de ne pas alourdir inutilement ce qui va suivre, on omettra systématiquement cette précision.

solutions de (E_M) pour d'autres matrices M utilisées parfois comme générateur de $SL_2(\mathbb{Z})$. Plus précisément, dans ce qui va suivre, on va reprendre les formules de C. Conley et V. Ovsienko et les méthodes utilisées pour les obtenir afin de pouvoir compter les λ -quiddités dont la dernière composante est fixée. Ces nouveaux éléments de comptage nous permettront ensuite d'obtenir le nombre de solutions de taille fixée de (E_M) pour $M = S$ ou $M = T$, ainsi que pour d'autres matrices qui leur sont immédiatement liées telles que T^{-1} ou TS .

Dans ce qui va suivre, n est un entier positif et, pour tout réel x , $E[x]$ est la partie entière de x . De plus, on utilisera les conventions suivantes : $\binom{n}{k} = \binom{n}{-1} = 0$ si $k > n$ et $\binom{-n}{k} = 1$. $Q_0 := 1$ et, pour $n \geq 1$, Q_n désigne le nombre de λ -quiddités de taille $n + 2$. On note $Q := \sum_{n=0}^{+\infty} Q_n X^n$ la série génératrice associée. On pose $P_0 := 1$ et, pour $n \geq 1$, $P_n := \sum_{k=0}^{E[n/3]} \frac{1}{n-k+1} \binom{n-2k-1}{k} \binom{2n-4k}{n-3k}$. On note $P := \sum_{n=0}^{+\infty} P_n X^n$ et $P^{-1} := \sum_{n=0}^{+\infty} \tilde{P}_n X^n$ l'inverse multiplicatif de P (la signification combinatoire de P_n et de \tilde{P}_n sera donnée dans la section suivante). Soient $n \geq 1$ et $k \geq 1$. $V_{k,n}$ représente le nombre de λ -quiddités de taille $n + 2$ dont la dernière composante est égale à k . Par ailleurs, on pose $V_{k,0} := 0$ et $V_k := \sum_{n=0}^{+\infty} V_{k,n} X^n$. Si $R(X)$ est une série génératrice, on note, pour tout $j \geq 0$, $[X^j]R(X)$ le coefficient de X^j dans $R(X)$.

On va démontrer dans la partie 2 les deux résultats ci-dessous :

Théorème 1.1. *Soit $n \geq 1$. On a*

$$\tilde{P}_n = - \sum_{j=0}^{n-1} \sum_{k=0}^{E[\frac{n-j-1}{2}]} (-1)^{j-k} \binom{j}{k} \sum_{l=0}^{E[\frac{n-j-2k-1}{3}]} \frac{2j+2}{n+j-2k-l+1} \binom{n-j-2k-2l-2}{l} \binom{2n-4k-4l-1}{n-j-2k-3l-1}.$$

Théorème 1.2. *Soit $k \geq 1$. On dispose des deux formules ci-dessous :*

$$V_k = [(Q-1)P^{-1}](1-P^{-1})^{k-1},$$

$$V_1 = (Q-1)P^{-1} = \sum_{n=1}^{+\infty} \left(\sum_{j=0}^{E[\frac{n-1}{3}]} \sum_{k=0}^{E[\frac{n-3j-1}{3}]} \frac{3j+1}{n-k} \binom{n-3j-1-2k-1}{k} \binom{2n-4k-3j-2}{n-3k-3j-1} \right) X^n.$$

En utilisant les formules permettant de calculer les coefficients de P^{-1} et les formules de Q_n , on pourra obtenir les valeurs de $V_{k,n}$. Une fois celle-ci connue, on pourra connaître le nombre de solutions de taille fixée de (E_S) et de (E_T) grâce au théorème ci-dessous. Avant de l'énoncer, on pose, pour $n \geq 0$, \mathcal{S}_n le nombre de solutions de (E_S) de taille $n + 2$ et \mathcal{T}_n le nombre de solutions de (E_T) de taille $n + 2$.

Théorème 1.3. *i) $\mathcal{S}_0 = \mathcal{S}_1 = \mathcal{S}_2 = 0$ et pour tout $n \geq 3$ on a :*

$$\mathcal{S}_n = \sum_{d=2}^{n-1} (d-1)V_{d,n-1}.$$

ii) $\mathcal{T}_0 = 0$ et pour tout $n \geq 1$ on a :

$$\mathcal{T}_n = \mathcal{S}_{n-1} + Q_n.$$

Ce résultat sera prouvé dans la section 3. Ensuite, en réutilisant les méthodes employées pour démontrer ce théorème, on comptera, dans la sous-partie 3.3, le nombre de solutions de l'équation (E_M) lorsque la matrice M appartient à l'ensemble $\{T^{-1}, ST, TS, STST, TSTS\}$.

2. DESCRIPTION ET COMPTAGE DES λ -QUIDDITÉS

L'objectif de cette section est de rappeler les différents éléments connus sur les λ -quiddités qui nous seront utiles pour démontrer, dans la dernière sous-section, le théorème 1.2.

2.1. λ -quiddités et 3d-dissections. Les solutions de (E_{Id}) possèdent certaines propriétés intéressantes. Elles sont notamment invariantes par permutations circulaires et par retournement (c'est-à-dire que (a_1, \dots, a_n) est solution de (E_{Id}) si et seulement si (a_n, \dots, a_1) l'est aussi). On connaît également l'ensemble des λ -quiddités de taille n pour les petites valeurs de n :

- (E_{Id}) n'a pas de solution de taille 2 ;
- $(1, 1, 1)$ est la seule λ -quiddité de taille 3 ;
- il n'y a que deux solutions de (E_{Id}) de taille 4, $(1, 2, 1, 2)$ et $(2, 1, 2, 1)$.

De plus, les λ -quiddités peuvent être représentées grâce à des découpages de polygones. Pour cela, on a besoin de la notion ci-dessous :

Définition 2.1. *i) Une 3d-dissection² est un découpage d'un polygone convexe \mathcal{P} par des diagonales ne se croisant qu'aux sommets de \mathcal{P} et tel que chaque sous-polygone résultant de ce découpage possède un nombre de sommets égal à un multiple de 3.*

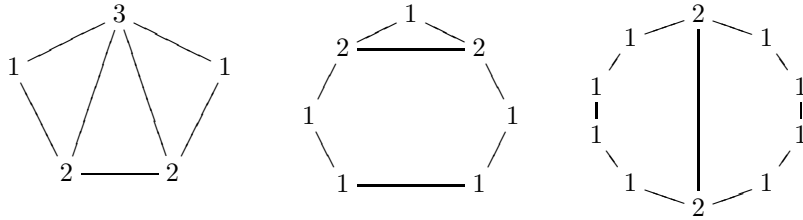
ii) On choisit un sommet que l'on numérote 1 et un sens de rotation et on numérote les autres sommets en suivant ce dernier. On appelle quiddité associée à la 3d-dissection du polygone à n sommets \mathcal{P} la séquence (a_1, \dots, a_n) où a_i est égal au nombre de sous-polygones utilisant le sommet i .

Celles-ci sont reliées à notre problème via le résultat ci-dessous, qui généralise le théorème de Conway-Coxeter (voir [4]) :

Théorème 2.2 ([14], Théorème 1). *Soit $n \geq 3$. Un n -uplet d'entiers strictement positifs solution de (E_{Id}) est une quiddité d'une 3d-dissection d'un polygone convexe à n sommets et réciproquement.*

Remarque. On retrouve dans ce théorème l'invariance par permutations circulaires et par retournement des λ -quiddités.

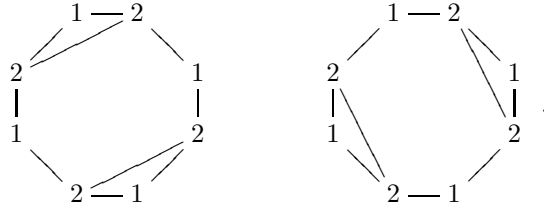
Exemples. On donne ci-dessous quelques exemples de 3d-dissections avec leur quiddité.



On peut compter, avec des méthodes classiques de dénombrement, le nombre D_n de 3d-dissections d'un polygone convexe à $n + 2$ sommets. Dans l'article [3], on trouve notamment la formule suivante :

$$D_n = \frac{1}{n+1} \sum_{k=0}^{E[\frac{n}{3}]} \binom{n-2k-1}{k} \binom{2n-3k}{n-3k}$$
 (corollaire 3.6). Cependant, cette dernière ne nous est d'aucune aide pour compter le nombre de λ -quiddités de taille fixée (même si on a l'inégalité $Q_n \leq D_n$). En effet, il n'y a pas de bijection entre les 3d-dissections et les quiddités des 3d-dissections, comme l'illustre l'exemple ci-dessous :

2. Pour des raisons inconnues, C. Conley et V. Ovsienko ont remplacé dans leurs travaux l'appellation « 3d-dissection », introduite par V. Ovsienko, par le nom « dissection 3-périodique ». Ici, on a choisi de conserver la terminologie d'origine.

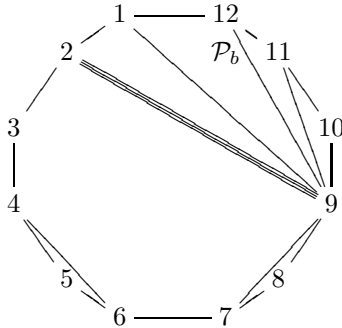


Par conséquent, pour effectuer le comptage souhaité, on a besoin de raffiner le concept introduit. Plus précisément, on utilise la relation d'équivalence suivante sur l'ensemble des $3d$ -dissections : deux $3d$ -dissections sont dites équivalentes si elles ont la même quiddité. Puis, on cherche un représentant particulier de chaque classe qui nous permettra d'utiliser des arguments combinatoires. Notons toutefois qu'il y a une bijection entre les quiddités des triangulations et les triangulations et que le nombre de ces quiddités est donné par les nombres de Catalan (voir [4]). Plus précisément, il y a $C_n = \frac{1}{n+1} \binom{2n}{n}$ quiddités de triangulations de taille $n + 2$.

2.2. Comptage des quiddités des $3d$ -dissections. Tous les éléments développés dans cette sous-partie proviennent des différentes sections de [3].

Soient $n \geq 0$ et \mathcal{P} un polygone convexe à $n + 2$ sommets. On choisit un sommet que l'on numérote avec l'indice 1. Puis, on numérote les autres sommets en suivant le sens trigonométrique. On effectue ensuite une $3d$ -dissection de \mathcal{P} . Celle-ci est constituée d'un certain nombre de sous-polygones dont les côtés peuvent être soit des côtés de \mathcal{P} , qu'on appellera alors côtés extérieurs, soit des diagonales, qu'on appellera côtés intérieurs. Les sous-polygones ne contiennent pas de diagonales intérieures. Dans la $3d$ -dissection, il y a un seul sous-polygone utilisant le côté dont les sommets sont 1 et $n + 2$. Ce côté est appelé le côté de base de la $3d$ -dissection et le sous-polygone utilisant ce côté, noté \mathcal{P}_b , est désigné comme étant le sous-polygone de base de la décomposition de \mathcal{P} . Considérons, s'il existe, un autre sous-polygone de la décomposition, noté \mathcal{P}' . Ce dernier possède un unique côté, nécessairement intérieur, tel que si on coupe \mathcal{P} suivant ce côté on obtient un polygone contenant \mathcal{P}' et un polygone contenant \mathcal{P}_b .

Exemple. Dans le dodécagone ci-dessous, la $3d$ -dissection contient sept sous-polygones et le côté 2 – 9 est le côté de base de l'hexagone 2 – 3 – 4 – 6 – 7 – 9.



Ce vocabulaire étant fixé, on peut maintenant définir les éléments nécessaires à l'obtention d'un représentant utile des classes d'équivalence.

Définition 2.3. Soient $n \geq 0$ et \mathcal{P} un polygone convexe à $n + 2$ sommets pour lequel on choisit une $3d$ -dissection.

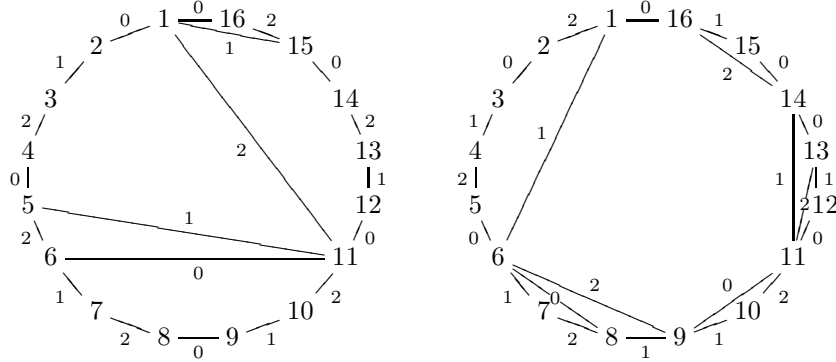
i) On attribue au côté de base de la décomposition l'indice $\bar{0} \in \mathbb{Z}/3\mathbb{Z}$. Puis, on parcourt les côtés du sous-polygone de base dans le sens trigonométrique. Pour chaque côté on attribue l'indice du côté précédent augmenté de $\bar{1}$. Ensuite, on effectue la même chose pour les tous sous-polygones dont l'un des côtés a été indexé, en partant de ce côté. En continuant ce processus, on fournit un indice à tous les côtés extérieurs et intérieurs de la 3d-dissection.

ii) On dira que la 3d-dissection est ouverte maximale si, pour tout sous-polygone $\mathcal{P}' \neq \mathcal{P}_b$ de la décomposition, tous les côtés de \mathcal{P}' , différents de son côté de base, dont l'indice est le même que celui du côté de base de ce sous-polygone sont des côtés extérieurs.

iii) Si la propriété précédente est également vraie pour le sous-polygone de base alors on dira que la 3d-dissection est ouverte maximale à base ouverte.

Remarque. La propriété demandée pour les sous-polygones dans ii) est toujours vérifiée pour les triangles.

Exemples. On donne ci-dessous deux 3d-dissections d'un hexadécagone où l'indice est indiqué pour chacun des côtés. La première est ouverte maximale à base ouverte et la deuxième est ouverte maximale mais pas à base ouverte.



Cette catégorie particulière de 3d-dissections est extrêmement utile car elle offre un représentant très intéressant des classes d'équivalence, comme l'illustre les deux résultats ci-dessous :

Théorème 2.4 ([3], Théorème 6.10). *Chaque classe d'équivalence de 3d-dissections contient une unique 3d-dissection ouverte maximale.*

Remarque. Ce théorème nous permet de retrouver l'existence d'une bijection entre les triangulations et les quiddités de triangulations.

Proposition 2.5. *Soient $n \geq 0$ et \mathcal{P} un polygone convexe à $n + 2$ sommets pour lequel on choisit une 3d-dissection que l'on regarde comme une collection de 3d-dissections (éventuellement vides) accolées aux côtés du sous-polygone de base.*

i) *La 3d-dissection de \mathcal{P} est ouverte maximale si et seulement si les 3d-dissections adjacentes aux côtés du sous-polygone de base sont ouvertes maximales à base ouverte.*

ii) *Supposons que la 3d-dissection de \mathcal{P} est ouverte maximale. Celle-ci est à base ouverte si et seulement si il n'y a pas de 3d-dissections accolées aux côtés d'indice 0 du sous-polygone de base.*

Grâce à ces résultats, on peut compter, avec des méthodes de séries génératrices multivariées, le nombre Q_n de λ -quiddités et le nombre P_n de quiddités de $3d$ -dissections ouvertes maximales à base ouverte d'un polygone convexe à $n + 2$ sommets (ce décalage de deux entre les indices de Q_n et de P_n et le nombre de sommet du polygone a été introduit par analogie avec les nombres de Catalan).

Théorème 2.6 ([3], Théorèmes 2.1 et 2.2). *Soit $n > 0$. On a :*

$$P(X) = 1 + X P(X)^2 + X^4 P(X)^4 + X^7 P(X)^6 + \dots = 1 + \frac{X P(X)^2}{1 - X^3 P(X)^2},$$

$$P_n = \sum_{k=0}^{E[\frac{n}{3}]} \frac{1}{n-k+1} \binom{n-2k-1}{k} \binom{2n-4k}{n-3k},$$

$$Q(X) = 1 + X P(X)^2 + X^4 P(X)^5 + X^7 P(X)^8 + \dots = 1 + \frac{X P(X)^2}{1 - X^3 P(X)^3},$$

$$Q_n = \sum_{k=0}^{E[\frac{n}{3}]} \sum_{s=0}^k \frac{3(k-s)+2}{n-s+1} \binom{n-3k+s-2}{s} \binom{2n-3k-s-1}{n-3k-1}.$$

2.3. Calcul des coefficients de P^{-1} . Pour obtenir les valeurs de $V_{k,n}$, on aura besoin des pouvoir calculer les coefficients de l'inverse de P pour la multiplication de $\mathbb{Z}[[X]]$ (notons que ce dernier existe puisque $P_0 = 1$). Une des premières façons de procéder est d'utiliser la formule récursive générale donnant les coefficients de l'inverse multiplicatif d'une série formelle. En effet, on sait que si $(\sum_{n=0}^{+\infty} a_n X^n) (\sum_{n=0}^{+\infty} b_n X^n) = 1$ dans $A[[X]]$ (avec A un anneau commutatif unitaire) alors $b_0 = a_0^{-1}$ et, pour tout $n \geq 1$, $b_n = -a_0^{-1} \sum_{k=1}^n a_k b_{n-k}$. On pourrait également utiliser des formules directes générales, telle que la formule de Wronski (voir [7] Théorème 1.3) ou des formules utilisant des multi-indices (voir par exemple [8] Théorème 11.13). Cependant, l'existence d'une équation fonctionnelle pour P va nous permettre d'obtenir une formule plus intéressante, donnée dans le théorème 1.1. Avant de prouver celle-ci, on énonce un résultat intermédiaire dont on aura besoin.

Proposition 2.7 ([3] lemme 4.3). *Soit $e \geq 1$.*

$$[P(X)]^e = \sum_{n=0}^{+\infty} \left(\sum_{k=0}^{E[\frac{n}{3}]} \frac{e}{n-k+e} \binom{n-2k-1}{k} \binom{2n-4k+e-1}{n-3k} \right) X^n.$$

Démonstration du théorème 1.1. D'après le le théorème 2.6, $P(X) = 1 + \frac{X P(X)^2}{1 - X^3 P(X)^2}$. Ainsi,

$$P^{-1}(X) = \frac{1 - X^3 P(X)^2}{1 - X^3 P(X)^2 + X P(X)^2} = 1 - \frac{X P(X)^2}{1 - (X^3 P(X)^2 - X P(X)^2)}.$$

Par conséquent, on a :

$$\begin{aligned}
P^{-1}(X) &= 1 - X P(X)^2 \sum_{j=0}^{+\infty} (X^3 P(X)^2 - X P(X)^2)^j \\
&= 1 - X P(X)^2 \sum_{j=0}^{+\infty} P(X)^{2j} (X^3 - X)^j \\
&= 1 - \sum_{j=0}^{+\infty} X P(X)^{2j+2} \sum_{k=0}^j \binom{j}{k} (-1)^{j-k} X^{3k} X^{j-k} \\
&= 1 - \sum_{j=0}^{+\infty} \left(\sum_{k=0}^j \binom{j}{k} (-1)^{j-k} X^{j+2k+1} \right) P(X)^{2j+2}.
\end{aligned}$$

On a $\tilde{P}_0 = 1$. Soit $n \geq 1$. Comme $j + 2k + 1 > n$ si $j \geq n$ et $j + 2k + 1 > n$ si $k > \frac{n-j-1}{2}$, on a, d'après la formule précédente :

$$\begin{aligned}
\tilde{P}_n &= - \sum_{j=0}^{n-1} \sum_{k=0}^{E[\frac{n-j-1}{2}]} (-1)^{j-k} \binom{j}{k} [X^{n-j-2k-1}] P(X)^{2j+2} \\
&= - \sum_{j=0}^{n-1} \sum_{k=0}^{E[\frac{n-j-1}{2}]} (-1)^{j-k} \binom{j}{k} \sum_{l=0}^{E[\frac{n-j-2k-1}{3}]} \frac{2j+2}{n+j-2k-l+1} \binom{n-j-2k-2l-2}{l} \binom{2n-4k-4l-1}{n-j-2k-3l-1} \\
&\quad \text{(proposition 2.7)}.
\end{aligned}$$

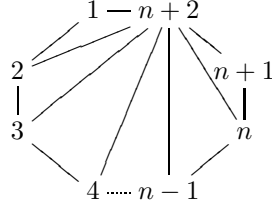
□

La signification combinatoire de $-\tilde{P}_n$ est donnée dans la prochaine sous-partie.

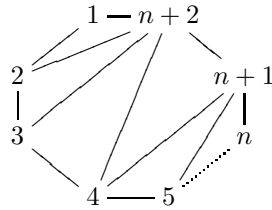
2.4. Nombre de quiddités dont la dernière composante est fixée. L'objectif de cette sous-section est d'obtenir des formules permettant de calculer $V_{k,n}$. Avant de rechercher ces dernières, notons que certaines valeurs de $V_{k,n}$ sont déjà connues. En effet, une $3d$ -dissection d'un polygone convexe à $n + 2$ sommets contient au plus n sous-polygones. Si de plus un de ces sous-polygones n'est pas un triangle alors la décomposition contient au plus $n - 3$ sous-polygones. Ainsi, si $k > n$ on a nécessairement $V_{k,n} = 0$. De plus, si $n - 2 \leq k \leq n$ alors les $3d$ -dissections dont les quiddités ont k comme dernière composante ne peuvent contenir que des triangles. Or, il y a une bijection entre les triangulations et les quiddités de triangulations. Donc, si on connaît le nombre de triangulations pour lesquels k triangles, avec $k \in \{n - 2, n - 1, n\}$, utilisent le dernier sommet, on aura les formules pour $V_{n,n}$, $V_{n-1,n}$ et $V_{n-2,n}$. Grâce à ce raisonnement, on peut obtenir :

Proposition 2.8. *Soit $n \geq 3$. $V_{n,n} = 1$, $V_{n-1,n} = n - 1$, $V_{n-2,n} = \frac{(n+1)(n-2)}{2}$. Par ailleurs, si $1 \leq k \leq n$, $V_{k,n} > 0$.*

Démonstration. i) Il n'y a qu'une seule triangulation pour laquelle n triangles utilisent le dernier sommet, celle où les triangles ont pour sommets $i, i + 1, n + 2$ avec $1 \leq i \leq n$. Ainsi, $V_{n,n} = 1$.



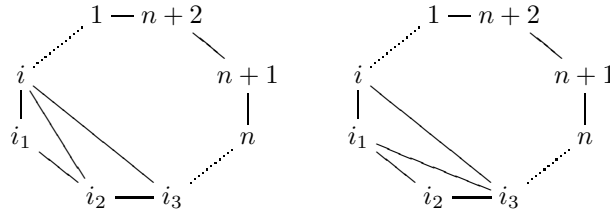
ii) Si $k = n - 1$, il y a $n - 1$ triangulations pour lesquels le dernier sommet est utilisé par $n - 1$ sommets. En effet, pour construire une telle triangulation, il suffit de choisir un triangle T qui n'utilise pas le sommet $n + 2$, les $n - 1$ triangles restants étant alors de la forme $i, i + 1, n + 2$. Or, ce triangle ne peut-être qu'un triangle extérieur de sommets $i - 1, i, i + 1$, avec $2 \leq i \leq n$, car si T n'était pas extérieur, il empêcherait le tracé de certains triangles $i, i + 1, n + 2$. Par exemple, dans la figure ci-dessous, on ne peut pas construire le triangle de sommets $n, n + 1, n + 2$.



Ainsi, $V_{n-1,n} = n - 1$.

iii) Montrons maintenant que $V_{n-2,n} = \frac{(n+1)(n-2)}{2}$. Soit \mathcal{P} un polygone à $n + 2$ côtés dont les sommets sont numérotés dans le sens trigonométrique de 1 à $n + 2$. Pour construire une triangulation de \mathcal{P} dans laquelle $n - 2$ triangles utilisent le sommet $n + 2$, on a deux possibilités : soit on choisit un quadrilatère extérieur n'utilisant pas le sommet $n + 2$ (que l'on coupe ensuite en deux) soit on choisit deux triangles extérieurs n'utilisant pas le sommet $n + 2$. Une fois ce choix fait, les $n - 2$ triangles restants sont tous de la forme $i, i + 1, n + 2$. Comptons maintenant le nombre de possibilités offertes par chaque cas :

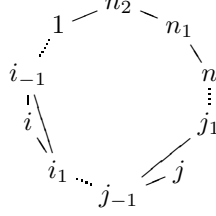
- Pour avoir un quadrilatère extérieur n'utilisant pas le sommet $n + 2$, on choisit un sommet $1 \leq i \leq n - 2$ et on construit le quadrilatère dont les sommets sont $i, i + 1, i + 2, i + 3$. Ensuite, on coupe ce quadrilatère en deux en choisissant une des deux diagonales possibles (dans la figure ci-dessous $i_k := i + k$).



Cela donne au final $2(n - 2)$ possibilités.

- Pour avoir deux triangles extérieurs n'utilisant pas le sommet $n + 2$, on commence par choisir un $2 \leq i \leq n - 2$ et on construit le triangle de sommets $i - 1, i, i + 1$. Ensuite, on choisit un

$i + 2 \leq j \leq n$ et on construit le triangle de sommets $j - 1, j, j + 1$ (dans la figure ci-dessous $i_k := i + k, j_k := j + k$ et $n_k := n + k$).



Cela donne au final $\sum_{i=2}^{n-2} n - i - 1 = (n - 3)(n - 1) - \frac{(n-1)(n-2)}{2} + 1$ possibilités.

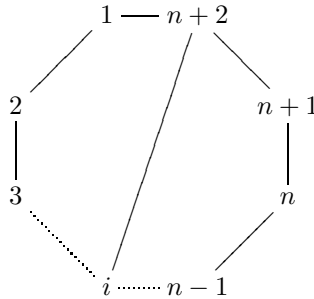
On a donc $V_{n-2,n} = (n - 3)(n - 1) - \frac{(n-1)(n-2)}{2} + 1 + 2(n - 2) = \frac{(n+1)(n-2)}{2}$.

iv) Soit $1 \leq k \leq n$. On triangule le polygone de sommets $1, n - k + 2, \dots, n + 2$ avec la méthode présentée en i). Puis, on effectue une triangulation quelconque du polygone de sommets $1, 2, \dots, n - k + 1$. On obtient ainsi une triangulation où exactement k triangles utilisent le sommet $n + 2$. Par conséquent, $V_{k,n} > 0$. □

On va maintenant faire la preuve du résultat principal de cette section.

Démonstration du théorème 1.2. Soient $n \geq 1, k \geq 1$ et \mathcal{P} un polygone convexe à $n + 2$ sommets, ces derniers étant numérotés de 1 à $n + 2$ dans le sens trigonométrique. Notons $U_{k,n}$ le nombre de $3d$ -dissections ouvertes maximales à base ouverte de \mathcal{P} dont le dernier sommet utilise k sous-polygones, $U_{k,0} := 0$ et $U_k := \sum_{n=0}^{+\infty} U_{k,n} X^n$. Par le théorème 2.4, $V_{k,n}$ est le nombre de $3d$ -dissections ouvertes maximales de \mathcal{P} dont le dernier sommet est utilisé par k sous-polygones.

On commence par chercher une formule pour U_1 . Pour construire une $3d$ -dissection ouverte maximale à base ouverte de \mathcal{P} , on commence par choisir le sommet du sous-polygone de base dont le numéro $i \leq n + 1$ est le plus grand, ce qui permet de construire le côté de sommets i et $n + 2$.



Pour avoir une $3d$ -dissection ouverte maximale à base ouverte sur \mathcal{P} , on doit construire une $3d$ -dissection ouverte maximale à base ouverte pour le polygone $i, i + 1, \dots, n + 1, n + 2$ et une $3d$ -dissection ouverte maximale à base ouverte pour le polygone $1, 2, \dots, i, n + 2$ dont le dernier sommet n'est utilisé que par un seul sous-polygone. Cela donne $U_{1,i-1} P_{n+1-i}$ constructions possibles. Puisque i peut varier de 2 à $n + 1$, on a $\sum_{i=2}^{n+1} U_{1,i-1} P_{n+1-i} = \sum_{j=1}^n U_{1,j} P_{n-j}$ possibilités. Comme $U_{1,0} = 0$, on peut rajouter $U_{1,0} P_n$, ce qui

donne pour tout $n \geq 1$:

$$P_n = \sum_{j=0}^n U_{1,j} P_{n-j}.$$

On a également $P_0 - 1 = U_{1,0}P_0$ et on reconnaît ici la formule du produit de Cauchy de U_1 et de P . Plus précisément, on a $P - 1 = U_1P$. Comme $P_0 = 1$, P est inversible dans $\mathbb{Z}[[X]]$. Par conséquent, $U_1 = 1 - P^{-1}$.

On s'intéresse maintenant à U_k . Pour avoir une $3d$ -dissection ouverte maximale à base ouverte sur \mathcal{P} dont le dernier sommet est utilisé par k sous-polygones, on choisit un sommet i comme dans le cas précédent, avec $i \leq n - k + 2$. Ensuite, on doit construire une $3d$ -dissection ouverte maximale à base ouverte pour le polygone $i, i + 1, \dots, n + 1, n + 2$ dont le dernier sommet est utilisé par $k - 1$ sous-polygones et une $3d$ -dissection ouverte maximale à base ouverte pour le polygone $1, 2, \dots, i, n + 2$ dont le dernier sommet n'est utilisé que par un seul sous-polygone. On a ainsi $U_{1,i-1}U_{k-1,n+1-i}$ constructions possibles. Cela donne $\sum_{i=2}^{n-k+2} U_{1,i-1}U_{k-1,n-i+1} = \sum_{j=1}^{n-k+1} U_{1,j}U_{k-1,n-j}$ possibilités. Comme $U_{k-1,n-j} = 0$ pour $j \geq n - k + 2$ et $U_{1,0} = 0$, on a :

$$U_{k,n} = \sum_{j=0}^n U_{1,j}U_{k-1,n-j}.$$

Ainsi, $U_k = U_1U_{k-1} = U_1^2U_{k-2} = \dots = U_1^k = (1 - P^{-1})^k$.

On va maintenant s'intéresser à V_1 , en utilisant des raisonnements analogues. Pour construire une $3d$ -dissection ouverte maximale de \mathcal{P} , on commence par choisir le sommet du sous-polygone de base dont le numéro $i \leq n + 1$ est le plus grand, ce qui permet de construire le côté de sommets i et $n + 2$. Pour avoir une $3d$ -dissection ouverte maximale sur \mathcal{P} , on doit construire une $3d$ -dissection ouverte maximale à base ouverte pour le polygone $i, i + 1, \dots, n + 1, n + 2$ et une $3d$ -dissection ouverte maximale pour le polygone $1, 2, \dots, i, n + 2$ dont le dernier sommet n'est utilisé que par un seul sous-polygone. Cela donne $V_{1,i-1}P_{n+1-i}$ constructions possibles. Puisque i peut varier de 2 à $n + 1$, on a $\sum_{i=2}^{n+1} V_{1,i-1}P_{n+1-i} = \sum_{j=1}^n V_{1,j}P_{n-j}$ possibilités. Comme $V_{1,0} = 0$, on peut rajouter $V_{1,0}P_n$, ce qui donne

$$Q_n = \sum_{j=0}^n V_{1,j}P_{n-j}.$$

On a également $Q_0 - 1 = V_{1,0}P_0$ et on reconnaît ici la formule du produit de Cauchy de V_1 et de P . Plus précisément, on a $Q - 1 = V_1P$, c'est-à-dire $V_1 = (Q - 1)P^{-1}$.

En reprenant le raisonnement fait pour V_1 et celui effectué pour U_k , on trouve les formules ci-dessous :

$$V_k = V_1U_{k-1} = V_1U_1^{k-1} = [(Q - 1)P^{-1}](1 - P^{-1})^{k-1}.$$

Pour terminer la preuve, il ne nous reste donc plus qu'à démontrer la formule explicite de V_1 présente dans l'énoncé.

Par le théorème 2.6, $Q(X) - 1 = \sum_{n=0}^{+\infty} X^{3n+1}P(X)^{3n+2}$. Donc, $(Q(X) - 1)P^{-1}(X) = \sum_{n=0}^{+\infty} X^{3n+1}P(X)^{3n+1}$.

Ainsi, pour tout $n \geq 1$, le coefficient $[X^n](Q(X) - 1)P^{-1}(X)$ est $\sum_{j=0}^{E[\frac{n-1}{3}]} [X^{n-3j-1}]P(X)^{3j+1}$. Par la proposition 2.7, on a :

$$V_1 = (Q - 1)P^{-1} = \sum_{n=1}^{+\infty} \left(\sum_{j=0}^{E[\frac{n-1}{3}]} \sum_{k=0}^{E[\frac{n-3j-1}{3}]} \frac{3j+1}{n-k} \binom{n-3j-1-2k-1}{k} \binom{2n-4k-3j-2}{n-3k-3j-1} \right) X^n.$$

□

Ainsi, en combinant les théorèmes 1.1 et 1.2 et en utilisant la formule du produit de Cauchy, on peut obtenir les valeurs souhaitées. De plus, la preuve que nous venons d'effectuer nous permet d'avoir immédiatement le résultat ci-dessous.

Corollaire 2.9. *Soient $n \geq 1$, $k \geq 1$ et \mathcal{P} un polygone convexe à $n + 2$ sommets, ces derniers étant numérotés de 1 à $n + 2$ dans le sens trigonométrique.*

i) $-\tilde{P}_n$ est le nombre de 3d-dissections ouvertes maximales à base ouverte de \mathcal{P} dont le dernier sommet utilise un seul sous-polygone.

ii) Le coefficient de X^n dans la série formelle $(1 - P^{-1})^k$ est le nombre de 3d-dissections ouvertes maximales à base ouverte de \mathcal{P} dont le dernier sommet utilise exactement k sous-polygones.

Remarque. Le corollaire précédent donne une interprétation combinatoire pertinente des coefficients de $1 - P^{-1}$. Il serait intéressant d'avoir également une interprétation de la série formelle $1 - Q^{-1}$.

Pour terminer, cette sous-section, on va démontrer le petit résultat ci-dessous :

Proposition 2.10. *Soient $n \geq 1$, $k \geq 1$ et $1 \leq i \leq n + 2$. Il y a $V_{k,n}$ λ -quiddités de taille $n + 2$ dont la $i^{\text{ème}}$ composante est égale à k .*

Démonstration. Pour tout $1 \leq j \leq n + 2$, on note $\Theta_{n,j} := \{(a_1, \dots, a_{n+2}) \in (\mathbb{N}^*)^{n+2}, M_{n+2}(a_1, \dots, a_{n+2}) = \pm Id \text{ et } a_j = k\}$. On considère les applications suivantes :

$$\begin{aligned} f_i : \quad \Theta_{n,n+2} &\longrightarrow \Theta_{n,i} \\ (a_1, \dots, a_{n+2}) &\longmapsto (a_{n+3-i}, \dots, a_{n+2}, a_1, \dots, a_{n+2-i})', \\ \\ g_i : \quad \Theta_{n,i} &\longrightarrow \Theta_{n,n+2} \\ (a_1, \dots, a_{n+2}) &\longmapsto (a_{i+1}, \dots, a_{n+2}, a_1, \dots, a_i)'. \end{aligned}$$

Les solutions de (E_{Id}) étant invariantes par permutations circulaires, f_i et g_i sont bien définies et sont des bijections réciproques. Donc, $\text{card}(\Theta_{n,i}) = \text{card}(\Theta_{n,n+2}) = V_{k,n}$.

□

2.5. Applications numériques.

n	0	1	2	3	4	5	6	7	8	9	10	11	12
\tilde{P}_n	1	-1	-1	-2	-6	-18	-57	-189	-648	-2278	-8166	-29 737	-109 701

n	0	1	2	3	4	5	6	7	8	9	10	11	12
$U_{2,n}$	0	0	1	2	5	16	52	174	600	2118	7616	27 800	102 747
$U_{3,n}$	0	0	0	1	3	9	31	108	381	1367	4977	18 345	68 334

Le tableau ci-dessous donne les premières valeurs de $V_{k,n}$.

$k \backslash n$	0	1	2	3	4	5	6	7	8	9	10	11	12
1	0	1	1	2	6	19	62	209	726	2580	9331	34 229	127 050
2	0	0	1	2	5	16	53	180	627	2232	8084	29 690	110 310
3	0	0	0	1	3	9	31	109	388	1402	5136	19 035	71 247
4	0	0	0	0	1	4	14	52	194	724	2716	10 254	38 955
5	0	0	0	0	0	1	5	20	80	316	1235	4809	18 720
6	0	0	0	0	0	0	1	6	27	116	484	1978	7990
7	0	0	0	0	0	0	0	1	7	35	161	708	3021
8	0	0	0	0	0	0	0	0	1	8	44	216	999
9	0	0	0	0	0	0	0	0	0	1	9	54	282
10	0	0	0	0	0	0	0	0	0	0	1	10	65
11	0	0	0	0	0	0	0	0	0	0	0	1	11
12	0	0	0	0	0	0	0	0	0	0	0	0	1

Notons que, pour tout $n \geq 1$, on retrouve, en sommant toutes les valeurs situées sur la colonne indexée par n , la valeur de Q_n .

3. NOMBRE DE SOLUTIONS DE (E_S) ET DE (E_T)

Nous allons maintenant nous intéresser aux cas des générateurs du groupe modulaire.

3.1. Description combinatoire des solutions. L'objectif de cette sous-partie est de rappeler les modèles combinatoires dont on dispose pour les solutions de (E_S) et de (E_T) et de pointer l'inadéquation de ces derniers pour la résolution du problème de comptage qui nous occupe.

Définition 3.1 ([9], définition 2.1). *Soient $n \in \mathbb{N}^*$, $n \geq 5$ et \mathcal{P} un polygone convexe à $n + 1$ sommets. Une 3d-dissection échanquée de \mathcal{P} est une décomposition de \mathcal{P} en sous-polygones par des diagonales ne se croisant qu'aux sommets de \mathcal{P} et vérifiant les conditions suivantes :*

- un seul des sous-polygones est un quadrilatère ;
- tous les autres sous-polygones intervenant dans la décomposition possèdent un nombre de sommets égal à un multiple de 3 ;
- le quadrilatère a exactement deux de ses côtés qui sont des côtés de \mathcal{P} et ces deux côtés possèdent un sommet en commun.

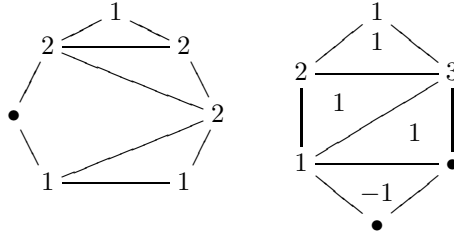
On numérote ce sommet 0 puis on numérote les autres sommets dans le sens trigonométrique. Pour chaque $i \in \llbracket 1 ; n \rrbracket$, on note a_i le nombre de sous-polygones possédant un nombre de sommets égal à un multiple de 3 utilisant le sommet i . (a_1, \dots, a_n) est la quiddité de la 3d-dissection échanquée de \mathcal{P} .

Définition 3.2 ([9], définition 2.3). Soient $n \in \mathbb{N}^*$, $n \geq 3$ et \mathcal{P} un polygone convexe à $n + 2$ sommets. Une 3d-dissection coiffée de \mathcal{P} est une décomposition de \mathcal{P} en sous-polygones par des diagonales ne se croisant qu'aux sommets de \mathcal{P} et vérifiant les conditions suivantes :

- tous les sous-polygones intervenant dans la décomposition possèdent un nombre de sommets égal à un multiple de 3 ;
- \mathcal{P} possède un triangle extérieur (c'est-à-dire que deux de ses côtés sont des côtés de \mathcal{P}) auquel on affecte le poids -1 ;
- tous les autres sous-polygones reçoivent le poids 1 ;
- le triangle de poids -1 , noté T , a un côté en commun avec un triangle de poids 1, noté T' , et, un des côtés de T' est un côté de \mathcal{P} .

Le sommet appartenant uniquement à T est numéroté 0 et celui appartenant uniquement à T' est numéroté -1 . On numérote les autres sommets de telle façon que le sommet numéroté n soit adjacent au sommet numéroté -1 . Pour chaque $i \in \llbracket 1 ; n \rrbracket$, on note a_i la somme des poids des sous-polygones utilisant le sommet i . (a_1, \dots, a_n) est la quiddité de la 3d-dissection coiffée de \mathcal{P} .

Exemples. On donne ci-dessous une 3d-dissection échancrée avec sa quiddité et une 3d-dissection coiffée avec sa quiddité.



Ces objets combinatoires sont reliés aux équations (E_S) et (E_T) par le résultat suivant.

Théorème 3.3 ([9] Théorèmes 2.2 et 2.4). *i) Soit $n \geq 5$. Tout n -uplet d'entiers strictement positifs solution de (E_S) est la quiddité d'une 3d-dissection échancrée d'un polygone convexe à $n + 1$ sommets et réciproquement.*

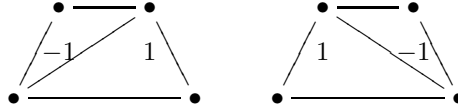
ii) Soit $n \geq 3$.

- $(a_1, \dots, a_{n-1}, 1)$ est solution de (E_T) si et seulement si (a_1, \dots, a_{n-1}) est la quiddité d'une 3d-dissection échancrée d'un polygone convexe à n sommets.
- (a_1, \dots, a_n) avec $a_n \geq 2$ est solution de (E_T) si et seulement si (a_1, \dots, a_n) est la quiddité d'une 3d-dissection coiffée d'un polygone convexe à $n + 2$ sommets.

Notons que contrairement aux solutions de (E_{Id}) , les solutions de (E_S) et de (E_T) ne sont pas invariantes par permutations circulaires. Par ailleurs, les solutions de (E_S) sont invariantes par retournements mais celles de (E_T) ne le sont pas. On notera également que (E_S) n'a pas de solution de taille inférieure à 4 et que (E_T) n'a pas de solution de taille inférieure à 2. Ainsi, $\mathcal{S}_0 = \mathcal{S}_1 = \mathcal{S}_2 = 0$ et $\mathcal{T}_0 = 0$.

Soient $n \geq 3$, E_n le nombre de 3d-dissections échancrées d'un polygone convexe à $n + 2$ sommets (avec $E_3 = 0$) et F_n le nombre de 3d-dissections coiffées d'un polygone convexe à $n + 2$ sommets. À partir de la formule de D_n (voir section 2.1), qui donne le nombre de 3d-dissections d'un polygone convexe à $n + 2$ sommets, on peut assez facilement obtenir une expression de E_n et de F_n . Soit \mathcal{P} un polygone

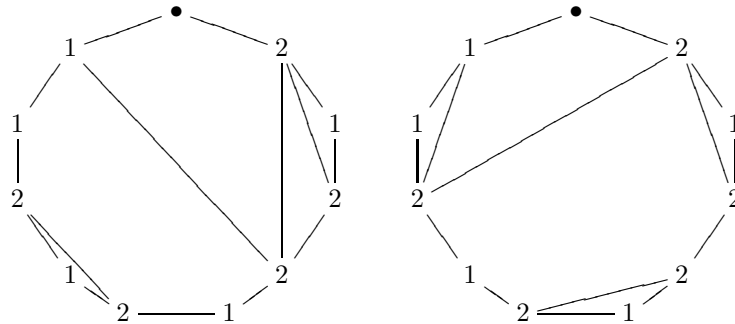
convexe à $n + 2$ sommets. Pour construire une $3d$ -dissection échancrée de \mathcal{P} , on commence par choisir le sommet 0, ce qui nous fait $n + 2$ choix. Ensuite, on numérote les autres sommets et on choisit le sommet $3 \leq k \leq n - 1$ qui permet de tracer le quadrilatère de sommets $0, 1, k, n + 1$. Pour chaque k , on effectue une $3d$ -dissection des polygones de sommets $1, 2, \dots, k$ et $k, k + 1, \dots, n + 1$, ce qui donne $D_{k-2}D_{n-k}$ possibilités. Ainsi, $E_n = (n + 2) \sum_{k=3}^{n-1} D_{k-2}D_{n-k}$. Pour construire une $3d$ -dissection coiffée de \mathcal{P} , on choisit un quadrilatère extérieure de \mathcal{P} , ce qui fait $n + 2$ choix, et on coupe celui-ci en deux, comme dans la figure ci-dessous :



Ensuite, on effectue une $3d$ -dissection du polygone obtenu en supprimant le quadrilatère de \mathcal{P} . Cela donne $F_n = 2(n + 2)D_{n-2}$.

n	3	4	5	6	7	8	9	10	11	12
D_n	5	15	49	168	595	2160	7997	30 083	114 660	441 840
E_n	0	6	28	112	450	1830	7502	30 924	128 050	532 350
F_n	10	24	70	240	882	3360	13 090	51 840	207 922	842 324

Malheureusement, on ne peut pas utiliser ces descriptions combinatoires pour compter le nombre de solutions de (E_S) et de (E_T) . En effet, puisque deux $3d$ -dissections différentes peuvent avoir la même quiddité, il en va de même pour les $3d$ -dissections échancrées ou coiffées. Par ailleurs, la situation dans le cas échancré est encore plus complexe que celle rencontrée dans la section précédente car il est possible d'avoir deux $3d$ -dissections échancrées d'un même polygone, avec le sommet 0 placé à la même position, donnant la même quiddité alors que leur quadrilatère sont positionnés de façon différente, comme l'illustre les deux décompositions de l'hendécagone ci-dessous :



Par conséquent, pour effectuer le comptage souhaité, on n'utilisera pas les descriptions combinatoires présentées ici.

3.2. Preuve des formules de comptage. L'objectif de cette sous-partie est d'utiliser les résultats prouvés dans la section 2 pour pouvoir dénombrer les solutions de (E_S) et de (E_T) .

Démonstration du théorème 1.3. i) Soient $n \geq 3$, $(a_1, \dots, a_{n+2}) \in (\mathbb{N}^*)^{n+2}$ et $\epsilon \in \{-1, 1\}$. On a

$$\begin{aligned} M_{n+2}(a_1, \dots, a_{n+2}) = \epsilon S &\iff SM_{n+2}(a_1, \dots, a_{n+2}) = -\epsilon Id \\ &\iff T^0 SM_{n+2}(a_1, \dots, a_{n+2}) = -\epsilon Id \\ &\iff M_{n+3}(a_1, \dots, a_{n+2}, 0) = -\epsilon Id \\ &\iff M_{n+3}(a_2, \dots, a_{n+2}, 0, a_1) = -\epsilon Id \\ &\iff M_{n+2}(a_2, \dots, a_1 + a_{n+2}) = \epsilon Id. \end{aligned}$$

La dernière équivalence provient de l'égalité $M_3(a, 0, b) = -M_1(a + b)$. Par conséquent, (a_1, \dots, a_{n+2}) est une solution de (E_S) si et seulement si $(a_2, \dots, a_{n+1}, a_1 + a_{n+2})$ est une λ -quiddité.

De plus, si $(a_1, \dots, a_{n+2}) \in (\mathbb{N}^*)^{n+2}$ est une solution de (E_S) , on a $2 \leq a_1 + a_{n+2} \leq n - 1$. En effet, par ce qui précède, $(a_2, \dots, a_{n+1}, a_1 + a_{n+2})$ est une λ -quiddité de taille $n + 1$. Or, par le théorème 2.2, cette λ -quiddité est la quiddité d'une $3d$ -dissection d'un polygone convexe \mathcal{P} à $n + 1$ sommets. Comme chaque sommet de \mathcal{P} ne peut être utilisé que par au plus $n - 1$ sous-polygones, on a nécessairement $a_1 + a_{n+2} \leq n - 1$. Par ailleurs, $a_1, a_{n+2} \geq 1$. Par conséquent, on a bien l'encadrement souhaité.

Pour compter le nombre de solutions de (E_S) , on va donc s'intéresser aux solutions dont la somme du premier et du dernier terme est fixée. Plus précisément, on note X_n l'ensemble de solutions de (E_S) de taille $n + 2$ et on pose pour tout $2 \leq d \leq n - 1$ et pour tout $1 \leq k \leq d - 1$, $Y_{n,d} := \{(a_1, \dots, a_{n+2}) \in X_n, a_1 + a_{n+2} = d\}$ et $Z_{n,d,k} := \{(a_1, \dots, a_{n+2}) \in X_n, a_1 = k \text{ et } a_{n+2} = d - k\}$. Par ce qui précède, on a :

$$X_n = \bigsqcup_{d=2}^{n-1} Y_{n,d} = \bigsqcup_{d=2}^{n-1} \bigsqcup_{k=1}^{d-1} Z_{n,d,k}.$$

Par conséquent,

$$\mathcal{S}_n = \sum_{d=2}^{n-1} \sum_{k=1}^{d-1} \text{card}(Z_{n,d,k}).$$

On va donc chercher à calculer $\text{card}(Z_{n,d,k})$. Commençons par remarquer que cet ensemble est non vide pour tout $2 \leq d \leq n - 1$ et pour tout $1 \leq k \leq d - 1$. En effet, notons $O_{n,d}$ l'ensemble des λ -quiddités de taille $n + 2$ dont la dernière composante est égale à d . On sait que $O_{n-1,d} \neq \emptyset$ (voir proposition 2.8). Soit $(a_1, \dots, a_n, k + (d - k)) \in O_{n-1,d}$. Par ce qui précède, on a $(k, a_1, \dots, a_n, d - k) \in Z_{n,d,k}$. Considérons maintenant les deux applications ci-dessous :

$$\alpha_{n,d,k} : \begin{array}{ccc} Z_{n,d,k} & \longrightarrow & O_{n-1,d} \\ (k, a_2, \dots, a_{n+1}, d - k) & \longmapsto & (a_2, \dots, a_{n+1}, d) \end{array},$$

$$\beta_{n,d,k} : \begin{array}{ccc} O_{n-1,d} & \longrightarrow & Z_{n,d,k} \\ (a_1, \dots, a_n, d) & \longmapsto & (k, a_1, \dots, a_n, d - k) \end{array}.$$

$\alpha_{n,d,k}$ et $\beta_{n,d,k}$ sont bien définies et sont des bijections réciproques. Par conséquent,

$$\text{card}(Z_{n,d,k}) = \text{card}(O_{n-1,d}) = V_{d,n-1}.$$

Donc, pour tout $n \geq 3$, on a :

$$\mathcal{S}_n = \sum_{d=2}^{n-1} \sum_{k=1}^{d-1} V_{d,n-1} = \sum_{d=2}^{n-1} (d-1)V_{d,n-1}.$$

ii) Soient $n \geq 1$, $(a_1, \dots, a_{n+2}) \in (\mathbb{N}^*)^{n+2}$ et $\epsilon \in \{-1, 1\}$. On suppose d'abord $a_{n+2} = 1$. On a :

$$\begin{aligned} M_{n+2}(a_1, \dots, a_{n+1}, 1) = \epsilon T &\iff T^{-1}M_{n+2}(a_1, \dots, a_{n+1}, 1) = \epsilon Id \\ &\iff M_{n+2}(a_1, \dots, a_{n+1}, 0) = \epsilon Id \\ &\iff M_{n+1}(a_1, \dots, a_{n+1}) = -\epsilon S. \end{aligned}$$

Ainsi, il y a \mathcal{S}_{n-1} solutions de (E_T) de taille $n+2$ de la forme $(a_1, \dots, a_{n+1}, 1)$.

On suppose maintenant $a_{n+2} \geq 2$. On a :

$$\begin{aligned} M_{n+2}(a_1, \dots, a_{n+2}) = \epsilon T &\iff T^{-1}M_{n+2}(a_1, \dots, a_{n+2}) = \epsilon Id. \\ &\iff M_{n+2}(a_1, \dots, a_{n+2} - 1) = \epsilon Id. \end{aligned}$$

Par conséquent, il y a Q_n solutions de (E_T) de taille $n+2$ de la forme (a_1, \dots, a_{n+2}) avec $a_{n+2} \geq 2$.

Ainsi, pour tout $n \geq 1$, $\mathcal{T}_n = \mathcal{S}_{n-1} + Q_n$. □

Remarque. À l'instar de ce qui a été fait pour les λ -quiddités, on peut s'intéresser aux solutions de (E_S) et de (E_T) dont la dernière composante est fixée. La preuve développée ci-dessus et les résultats de la section précédente permettent de résoudre rapidement cette question.

- La dernière composante d'une solution de (E_S) de taille $n+2$ est comprise entre 1 et $n-2$. Pour tout $1 \leq d \leq n-2$, l'ensemble des solutions de (E_S) de taille $n+2$ dont la dernière composante est égale à d est en bijection avec l'ensemble des solutions de (E_{Id}) de taille $n+1$ dont la dernière composante est strictement supérieure à d . Aussi, il y a $\sum_{k=d+1}^{n-1} V_{k,n-1}$ solutions de (E_S) de taille $n+2$ dont la dernière composante est égale à d .
- La dernière composante d'une solution de (E_T) de taille $n+2$ est comprise entre 1 et $n+1$. Il y a \mathcal{S}_{n-1} solutions de (E_T) de taille $n+2$ dont la dernière composante est égale à 1. Pour tout $2 \leq d \leq n+1$, il y a $V_{d-1,n}$ solutions de (E_T) de taille $n+2$ dont la dernière composante est égale à d .

3.3. Extension à d'autres matrices. Les techniques mises en œuvre pour démontrer les formules de comptage pour S et T peuvent être adaptées pour d'autres éléments du groupe modulaire parfois utilisés comme générateur. Grâce à celles-ci, on va démontrer le résultat ci-dessous :

Théorème 3.4. *Soit $n \geq 1$. On note u_n le nombre de solutions de taille $n+2$ de $(E_{T^{-1}})$, v_n le nombre de solutions de taille $n+2$ de (E_{TS}) , w_n le nombre de solutions de taille $n+2$ de (E_{ST}) , x_n le nombre de solutions de taille $n+2$ de (E_{TSTS}) et y_n le nombre de solutions de taille $n+2$ de (E_{STST}) . On a :*

i) $u_n = Q_n - V_{1,n}$.

ii) $v_1 = 0$ et, pour $n \geq 2$, $v_n = Q_{n-1} + \mathcal{S}_n$.

iii) $w_n = Q_n - 2 \left(\sum_{k=1}^n W_{1,k,n} \right) + W_{1,1,n}$, avec $W_{1,1,0} = 0$, $W_{1,1,1} = 1$ et $W_{1,1}(X) = \sum_{n=0}^{+\infty} W_{1,1,n} X^n = X + \sum_{n=2}^{+\infty} \left(\sum_{j=1}^{E[\frac{n-1}{3}]} \sum_{k=0}^{E[\frac{n-3j-1}{3}]} \frac{3j}{n-1-k} \binom{n-3j-2k-2}{k} \binom{2n-3j-4k-3}{n-3j-3k-1} \right) X^n$ et, pour $k \geq 1$, $\sum_{n=0}^{+\infty} W_{1,k,n} X^n = W_{1,1}(X)(1 - P^{-1}(X))^{k-1}$.

iv) $x_n = V_{1,n+1}$.

v) $y_1 = y_2 = y_3 = 0$ et, pour $n \geq 4$, $y_n = \sum_{d=3}^{n-1} (d-2)V_{d,n-1}$.

Remarques. i) On a $(TS)^3 = (ST)^3 = -Id$.

ii) $(E_{T^{-1}})$ n'a pas de solution de taille 1, 2 ou 3. (1) est l'unique solution de (E_{TS}) de taille 1 et n'a pas de solution de taille 2 ou 3. (E_{ST}) et (E_{STST}) n'ont pas de solution de taille 1, 2 ou 3. (E_{TSTST}) n'a pas de solution de taille 1 mais possède une solution de taille 2, (1, 1), et une solution de taille 3, (2, 1, 2).

Démonstration. i) Soient $n \geq 1$, $(a_1, \dots, a_{n+2}) \in (\mathbb{N}^*)^{n+2}$ et $\epsilon \in \{-1, 1\}$. On a

$$\begin{aligned} M_{n+2}(a_1, \dots, a_{n+2}) = \epsilon T^{-1} &\iff TM_{n+2}(a_1, \dots, a_{n+2}) = \epsilon Id \\ &\iff M_{n+2}(a_1, \dots, a_{n+2} + 1) = \epsilon Id. \end{aligned}$$

Par conséquent, l'ensemble des solutions de taille $n+2$ de $(E_{T^{-1}})$ est en bijection avec l'ensemble des solutions de taille $n+2$ de (E_{Id}) dont la dernière composante est supérieure ou égale à 2. Ainsi, $u_n = Q_n - V_{1,n}$.

ii) Soient $n \geq 2$, $(a_1, \dots, a_{n+2}) \in (\mathbb{N}^*)^{n+2}$ et $\epsilon \in \{-1, 1\}$. On suppose pour commencer que $a_{n+2} = 1$.

$$\begin{aligned} M_{n+2}(a_1, \dots, a_{n+1}, 1) = \epsilon TS &\iff TSM_{n+1}(a_1, \dots, a_{n+1}) = \epsilon TS \\ &\iff M_{n+1}(a_1, \dots, a_{n+1}) = \epsilon Id. \end{aligned}$$

Par conséquent, il y a Q_{n-1} solutions de (E_{TS}) de taille $n+2$ de la forme $(a_1, \dots, a_{n+1}, 1)$. On suppose maintenant $a_{n+2} > 1$.

$$\begin{aligned} M_{n+2}(a_1, \dots, a_{n+2}) = \epsilon TS &\iff T^{-1}M_{n+2}(a_1, \dots, a_{n+2}) = \epsilon S \\ &\iff M_{n+2}(a_1, \dots, a_{n+2} - 1) = \epsilon S. \end{aligned}$$

Par conséquent, il y a une bijection entre l'ensemble des solutions de (E_{TS}) de taille $n+2$ de la forme $(a_1, \dots, a_{n+1}, a_{n+2})$ avec $a_{n+2} > 1$ et l'ensemble des solutions de (E_S) de taille $n+2$. Donc, il y a \mathcal{S}_n solutions de (E_{TS}) de cette forme.

Ainsi, $w_n = Q_{n-1} + \mathcal{S}_n$.

iii) Soient $n \geq 1$, $(a_1, \dots, a_{n+2}) \in (\mathbb{N}^*)^{n+2}$ et $\epsilon \in \{-1, 1\}$. On a :

$$\begin{aligned} M_{n+2}(a_1, \dots, a_{n+2}) = \epsilon ST &\iff M_{n+1}(a_2, \dots, a_{n+2})T^{a_1}S(STST) = \epsilon ST(STST) \\ &\iff -M_{n+1}(a_2, \dots, a_{n+2})T^{a_1}TST = -\epsilon Id \\ &\iff M_{n+1}(a_2, \dots, a_{n+2})T^{a_1+1}ST = \epsilon Id \\ &\iff SM_{n+1}(a_2, \dots, a_{n+2})T^{a_1+1}STS = \epsilon S \times S \\ &\iff T^0SM_{n+1}(a_2, \dots, a_{n+2})T^{a_1+1}STS = -\epsilon Id \\ &\iff M_{n+4}(1, a_1 + 1, a_2, \dots, a_{n+2}, 0) = -\epsilon Id \\ &\iff M_{n+4}(a_1 + 1, a_2, \dots, a_{n+2}, 0, 1) = -\epsilon Id \\ &\iff -M_{n+2}(a_1 + 1, a_2, \dots, a_{n+2} + 1) = -\epsilon Id \\ &\iff M_{n+2}(a_1 + 1, a_2, \dots, a_{n+2} + 1) = \epsilon Id. \end{aligned}$$

On en déduit que w_n est égal au nombre de λ -quiddités de taille $n + 2$ dont la première et la dernière composante sont différentes de 1. Pour pouvoir compter concrètement les solutions de (E_{ST}) , on doit donc dénombrer les solutions de (E_{Id}) vérifiant la condition souhaitée. Pour cela, on note pour, $n \geq 1$ et $k, l \geq 1$, $W_{k,l,n}$ le nombre de λ -quiddités de taille $n + 2$ dont la première composante vaut k et la dernière composante est égale à l . Comme les solutions de (E_{Id}) sont invariantes par retournements, on a $W_{l,k,n} = W_{k,l,n}$. De plus, les composantes d'une solution de (E_{Id}) de taille $n + 2$ sont comprises entre 1 et n . Il y a donc

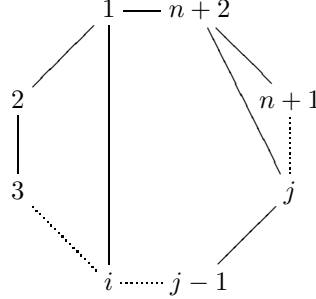
$$2 \left(\sum_{k=1}^n W_{1,k,n} \right) - W_{1,1,n}$$

λ -quiddités de taille $n + 2$ dont la première ou la dernière composante sont égales 1. Ainsi,

$$w_n = Q_n - 2 \left(\sum_{k=1}^n W_{1,k,n} \right) + W_{1,1,n}.$$

On pose maintenant $W_{k,l,0} := 0$ et $W_{k,l}(X) := \sum_{n=0}^{+\infty} W_{k,l,n} X^n$. Soient $n \geq 1$, $k, l \geq 1$ et \mathcal{P} un polygone convexe à $n + 2$ sommets, ces derniers étant numérotés de 1 à $n + 2$ dans le sens trigonométrique. Par le théorème 2.4, $W_{k,l,n}$ est le nombre de $3d$ -dissections ouvertes maximales de \mathcal{P} pour lesquels le sommet 1 est utilisé par k sous-polygones et le sommet $n + 2$ est utilisé par l sous-polygones.

On commence par chercher une formule pour $W_{1,1}$. Pour construire une $3d$ -dissection ouverte maximale de \mathcal{P} , on commence par choisir le sommet du sous-polygone de base dont le numéro $2 \leq i \leq n + 1$ est le plus petit, ce qui permet de construire le côté de sommets 1 et i . Puis, on choisit le sommet du sous-polygone de base dont le numéro $i \leq j \leq n + 1$ est le plus grand, ce qui permet de construire le côté de sommets j et $n + 2$ (notons que l'on peut avoir $i = j$ si le sous-polygone de base est un triangle).



Pour avoir une $3d$ -dissection ouverte maximale sur \mathcal{P} , on doit construire une $3d$ -dissection ouverte maximale à base ouverte pour le polygone $1, \dots, i$, une $3d$ -dissection ouverte maximale à base ouverte pour le polygone $j, \dots, n + 2$ et une $3d$ -dissection ouverte maximale dont le premier et le dernier sommet ne sont utilisés que par un seul sous-polygone pour le polygone $1, i, \dots, j, n + 2$. Cela donne $P_{i-2} W_{1,1,j-i+1} P_{n+1-j}$ constructions possibles. Puisque i peut varier de 2 à $n + 1$ et j de i à $n + 1$, on a

$$\sum_{i=2}^{n+1} \sum_{j=i}^{n+1} P_{i-2} W_{1,1,j-i+1} P_{n+1-j} = \sum_{i=0}^{n-1} \sum_{j=i+2}^{n+1} P_i W_{1,1,j-i-1} P_{n+1-j}$$

possibilités. En faisant le changement de variable $k := j - i - 1$ dans la deuxième somme, on obtient $\sum_{i=0}^{n-1} P_i \left(\sum_{k=1}^{n-i} W_{1,1,k} P_{(n-i)-k} \right)$ possibilités. Comme $W_{1,1,0} = 0$, on peut rajouter pour tout $0 \leq i \leq$

$n - 1$, $P_i W_{1,1,0} P_{n-i}$ et $P_n W_{1,1,0} P_0$. Par conséquent, il y a

$$\sum_{i=0}^n P_i \left(\sum_{k=0}^{n-i} W_{1,1,k} P_{(n-i)-k} \right)$$

façons de construire une $3d$ -dissection ouverte maximale de P .

On a également $Q_0 - 1 = P_0 W_{1,1,0} P_0$ et on reconnaît ici la formule du produit de Cauchy des trois séries P , $W_{1,1}$ et P . Plus précisément, on a $Q - 1 = P W_{1,1} P$. Comme $P_0 = 1$, P est inversible dans $\mathbb{Z}[[X]]$. Par conséquent, $W_{1,1} = P^{-1}(Q - 1)P^{-1}$.

Par le théorème 2.6, $Q(X) = 1 + X P(X)^2 + X^4 P(X)^5 + X^7 P(X)^8 + \dots$. Donc,

$$W_{1,1}(X) = X + X^4 P(X)^3 + X^7 P(X)^6 + \dots = \sum_{j=0}^{+\infty} X^{3j+1} P(X)^{3j}.$$

Donc, on a $W_{1,1,1} = 1$ et, par la proposition 2.7, on a, pour $n \geq 2$:

$$\begin{aligned} W_{1,1,n} &= \sum_{j=0}^{E[\frac{n-1}{3}]} [X^{n-3j-1}] P(X)^{3j} \\ &= \sum_{j=1}^{E[\frac{n-1}{3}]} \sum_{k=0}^{E[\frac{n-3j-1}{3}]} \frac{3j}{n-1-k} \binom{n-3j-2k-2}{k} \binom{2n-3j-4k-3}{n-3j-3k-1}. \end{aligned}$$

On s'intéresse maintenant à $W_{1,k}$ pour $k \geq 2$. Pour avoir une $3d$ -dissection ouverte maximale de \mathcal{P} dont le premier sommet est utilisé par un seul sous-polygone et dont le dernier sommet est utilisé par k sous-polygones, on commence par choisir le sommet du sous-polygone de base dont le numéro $2 \leq i \leq n - k + 2$ est le plus grand, ce qui permet de construire le côté $i, n + 2$. Ensuite, on doit construire une $3d$ -dissection ouverte maximale à base ouverte pour le polygone $i, i + 1, \dots, n + 1, n + 2$ dont le dernier sommet est utilisé par $k - 1$ sous-polygones et une $3d$ -dissection ouverte maximale pour $1, 2, \dots, i, n + 2$ dont le premier et le dernier sommet ne sont utilisés que par un seul sous-polygone. On a ainsi $W_{1,1,i-1} U_{k-1,n-i+1}$ constructions possibles. Cela donne $\sum_{i=2}^{n-k+2} W_{1,1,i-1} U_{k-1,n-i+1} = \sum_{j=1}^{n-k+1} W_{1,1,j} U_{k-1,n-j}$ possibilités. Comme $U_{k-1,n-j} = 0$ pour $j \geq n - k + 2$ et $W_{1,1,0} = 0$, on a :

$$W_{1,k,n} = \sum_{j=0}^n W_{1,1,j} U_{k-1,n-j}.$$

Ainsi, par le corollaire 2.9, $W_{1,k} = W_{1,1} U_{k-1} = W_{1,1} (1 - P^{-1})^{k-1}$.

iv) Soient $n \geq 1$, $(a_1, \dots, a_{n+2}) \in (\mathbb{N}^*)^{n+2}$ et $\epsilon \in \{-1, 1\}$. On a

$$\begin{aligned} M_{n+2}(a_1, \dots, a_{n+2}) = \epsilon TSTS &\iff TSM_{n+2}(a_1, \dots, a_{n+2}) = \epsilon (TS)^3 \\ &\iff M_{n+3}(a_1, \dots, a_{n+2}, 1) = -\epsilon Id. \end{aligned}$$

Par conséquent, l'ensemble des solutions de taille $n + 2$ de (E_{TSTS}) est en bijection avec l'ensemble des solutions de taille $n + 3$ de (E_{Id}) dont la dernière composante est égale à 1. Ainsi, $x_n = V_{1,n+1}$.

v) Soient $n \geq 1$, $(a_1, \dots, a_{n+2}) \in (\mathbb{N}^*)^{n+2}$ et $\epsilon \in \{-1, 1\}$. On a

$$\begin{aligned}
 M_{n+2}(a_1, \dots, a_{n+2}) = \epsilon STST &\iff M_{n+1}(a_2, \dots, a_{n+2})T^{a_1}S(ST) = \epsilon(ST)^3 \\
 &\iff -M_{n+1}(a_2, \dots, a_{n+2})T^{a_1+1} = -\epsilon Id \\
 &\iff T^0SM_{n+1}(a_2, \dots, a_{n+2})T^{a_1+1}S = \epsilon S^2 \\
 &\iff M_{n+3}(a_1 + 1, a_2, \dots, a_{n+2}, 0) = -\epsilon Id \\
 &\iff M_{n+3}(a_2, \dots, a_{n+2}, 0, a_1 + 1) = -\epsilon Id \\
 &\iff M_{n+1}(a_2, \dots, a_{n+1}, a_{n+2} + a_1 + 1) = \epsilon Id.
 \end{aligned}$$

En particulier, si (a_1, \dots, a_{n+2}) est une solution de (E_{STST}) alors $(a_2, \dots, a_{n+1}, a_{n+2} + a_1 + 1)$ est une solution de (E_{Id}) dont la dernière composante est supérieure à 3. Pour $n \leq 3$, il n'y a pas de λ -quiddité de taille $n + 1$ dont la dernière composante est supérieure à 3. Donc, $y_1 = y_2 = y_3 = 0$.

Notons, pour $n \geq 4$, $3 \leq d \leq n - 1$ et $1 \leq k \leq d - 2$, \tilde{X}_n l'ensemble des solutions de (E_{STST}) de taille $n + 2$, $\tilde{Y}_{n,d} := \{(a_1, \dots, a_{n+2}) \in \tilde{X}_n, a_1 + a_{n+2} = d - 1\}$ et $\tilde{Z}_{n,d,k}$ le sous-ensemble de $\tilde{Y}_{n,d}$ suivant : $\{(a_1, \dots, a_{n+2}) \in \tilde{Y}_{n,d}, a_1 = k \text{ et } a_{n+2} = d - k - 1\}$. En reprenant les éléments développés dans la preuve du théorème 1.3, on a $\tilde{X}_n = \bigsqcup_{d=3}^{n-1} \tilde{Y}_{n,d} = \bigsqcup_{d=3}^{n-1} \bigsqcup_{k=1}^{d-2} \tilde{Z}_{n,d,k}$. De plus, $\tilde{Z}_{n,d,k}$ est en bijection avec l'ensemble des λ -quiddités de taille $n + 1$ dont la dernière composante est d . Par conséquent, $\text{card}(\tilde{Z}_{n,d,k}) = V_{d,n-1}$ et

$$y_n = \sum_{d=3}^{n-1} \sum_{k=1}^{d-2} V_{d,n-1} = \sum_{d=3}^{n-1} (d-2)V_{d,n-1}.$$

□

Bien que l'on n'ait pas eu besoin de toutes les valeurs de $W_{k,l}$ pour effectuer les dénombrements souhaités, on va conclure ce texte en démontrant une formule générique permettant d'obtenir toutes les valeurs des coefficients de cette série génératrice.

Proposition 3.5. *Soient $n, k, l \geq 1$ et $W_{k,l,n}$ le nombre de λ -quiddités de taille $n + 2$ dont la première composante vaut k et la dernière composante est égale à l . On pose $W_{k,l,0} := 0$ et $W_{k,l} := \sum_{n=0}^{+\infty} W_{k,l,n} X^n$. On a :*

$$W_{k,l} = W_{1,1}(1 - P^{-1})^{k+l-2} = W_{1,k+l-1}.$$

Démonstration. Soient $n, k, l \geq 1$. Si $k = 1$ ou $l = 1$ alors le résultat est vrai (voir la preuve du théorème 3.4 iii)). On suppose maintenant $k, l \geq 2$ et on considère \mathcal{P} un polygone convexe à $n + 2$ sommets, ces derniers étant numérotés de 1 à $n + 2$ dans le sens trigonométrique. Par le théorème 2.4, $W_{k,l,n}$ est le nombre de $3d$ -dissections ouvertes maximales de \mathcal{P} pour lesquels le sommet 1 est utilisé par k sous-polygones et le sommet $n + 2$ est utilisé par l sous-polygones.

Pour avoir une $3d$ -dissection ouverte maximale de \mathcal{P} dont le premier sommet est utilisé par k sous-polygones et dont le dernier sommet est utilisé par l sous-polygones, on commence par choisir le sommet du sous-polygone de base dont le numéro $k + 1 \leq i \leq n + 1$ est le plus petit, ce qui permet de construire le côté $1, i$. Ensuite, on choisit le sommet du sous-polygone de base dont le numéro $i \leq j \leq n - l + 2$ est le plus grand, ce qui permet de construire le côté $j, n + 2$ (si $k + 1 > n - l + 2$ alors $W_{k,l,n} = 0$). Pour terminer, on doit construire une $3d$ -dissection ouverte maximale à base ouverte pour le polygone $1, \dots, i$ dont le premier sommet est utilisé par $k - 1$ sous-polygones, une $3d$ -dissection ouverte maximale pour le polygone $1, i, \dots, j, n + 2$ dont le premier et le dernier sommet ne sont utilisés que par un seul sous-polygone et une $3d$ -dissection ouverte maximale à base ouverte pour le polygone $j, \dots, n + 2$ dont le dernier sommet est utilisé par $l - 1$ sous-polygones. Cela donne $U_{k-1,i-2}W_{1,1,j-i+1}U_{l-1,n-j+1}$ constructions possibles (car

il y a autant de $3d$ -dissections ouvertes maximales à base ouverte d'un polygone à i sommets dont le premier sommet est utilisé par $k - 1$ sous-polygones que de $3d$ -dissections ouvertes maximales à base ouverte d'un polygone à i sommets dont le dernier sommet est utilisé par $k - 1$ sous-polygones). Ainsi, $W_{k,l,n} = \sum_{i=k+1}^{n+1} \sum_{j=i}^{n-l+2} U_{k-1,i-2} W_{1,1,j-i+1} U_{l-1,n-j+1} = \sum_{i=k-1}^{n-1} \sum_{j=i}^{n-l} U_{k-1,i} W_{1,1,j-i+1} U_{l-1,n-j-1}$. Comme $U_{k-1,h} = 0$ pour $0 \leq h \leq k - 2$, $U_{l-1,n-h-1} = 0$ pour $h \geq n - l + 1$ et $W_{1,1,0} = 0$, on a :

$$W_{k,l,n} = \sum_{i=0}^{n-1} \sum_{j=i-1}^{n-1} U_{k-1,i} W_{1,1,j-i+1} U_{l-1,n-j-1} = \sum_{i=0}^n U_{k-1,i} \left(\sum_{s=0}^{n-i} W_{1,1,s} U_{l-1,(n-i)-s} \right).$$

De plus, $W_{k,l,0} = U_{k-1,0} W_{1,1,0} U_{l-1,0}$. Par conséquent, on a :

$$W_{k,l} = U_{k-1} W_{1,1} U_{l-1}.$$

Par le corollaire 2.9, on obtient :

$$W_{k,l} = (1 - P^{-1})^{k-1} W_{1,1} (1 - P^{-1})^{l-1} = W_{1,1} (1 - P^{-1})^{k+l-2} = W_{1,k+l-1}.$$

□

Exemples. On a $W_{2,2,6} = 17$, $W_{2,3,8} = 114$ et $W_{5,3,11} = 492$.

Remarque. L'existence de l'égalité $W_{k,l} = W_{1,k+l-1}$ laisse envisager la possibilité d'avoir des bijections intéressantes au sein de l'ensemble des λ -quiddités.

3.4. Applications numériques. Le tableau ci-dessous donne les valeurs de $W_{1,k,n}$ pour les petites valeurs de k et n .

$k \backslash n$	0	1	2	3	4	5	6	7	8	9	10	11	12
1	0	1	0	0	1	3	9	29	99	348	1247	4539	16 740
2	0	0	1	1	2	7	22	71	239	830	2948	10 655	39 063
3	0	0	0	1	2	5	17	57	194	678	2420	8781	32 292
4	0	0	0	0	1	3	9	32	114	408	1481	5445	20 235
5	0	0	0	0	0	1	4	14	53	200	751	2831	10 730
6	0	0	0	0	0	0	1	5	20	81	323	1270	4969
7	0	0	0	0	0	0	0	1	6	27	117	492	2022
8	0	0	0	0	0	0	0	0	1	7	35	162	717
9	0	0	0	0	0	0	0	0	0	1	8	44	217
10	0	0	0	0	0	0	0	0	0	0	1	9	54
11	0	0	0	0	0	0	0	0	0	0	0	1	10
12	0	0	0	0	0	0	0	0	0	0	0	0	1

Notons qu'en sommant, pour un n fixé, les valeurs de $W_{1,k,n}$ présentes dans la colonne indexée par n on retrouve la valeur de $V_{1,n}$.

n	1	2	3	4	5	6	7	8	9	10	11	12
\mathcal{S}_n	0	0	1	4	14	50	182	670	2489	9326	35 219	133 940
\mathcal{T}_n	1	2	5	16	53	180	627	2232	8084	29 690	110 310	413 870
u_n	0	1	3	9	30	104	368	1324	4834	17 870	66 755	251 601
v_n	0	1	3	9	29	99	348	1247	4539	16 740	62 420	234 924
w_n	0	0	1	4	14	51	188	697	2602	9786	37 065	141 291
x_n	1	2	6	19	62	209	726	2580	9331	34 229	127 050	476 290
y_n	0	0	0	1	5	20	78	302	1165	4492	17 349	67 185

RÉFÉRENCES

[1] S. Benzaira, I. Short, M. van Son, A. Zabolotskii, *Enumerating tame friezes over $\mathbb{Z}/n\mathbb{Z}$* , (2024), arXiv:2410.23400.

[2] B. Böhmler, M. Cuntz, *Frieze patterns over finite commutative local rings*, (2024), arXiv:2407.12596.

[3] C. Conley, V. Ovsienko, *Quiddities of polygon dissections and the Conway-Coxeter frieze equation*, Annali della Scuola Normale Superiore di Pisa - Classe di Scienze, Vol. 24 no. 4, (2023), pp 2125-2170.

[4] J. H. Conway, H. S. M. Coxeter, *Triangulated polygons and frieze patterns*, The Mathematical Gazette, (1973), Vol. 57 no. 400, pp 87-94 et Vol. 57 no. 401, pp 175-183.

[5] M. Cuntz, *A combinatorial model for tame frieze patterns*, Münster Journal of Mathematics, Vol 12 no. 1, (2019), pp 49-56.

[6] M. Cuntz, T. Holm. *Frieze patterns over integers and other subsets of the complex numbers*, Journal of Combinatorial Algebra, Vol. 3 no. 2, (2019), pp 153–188.

[7] P. Henrici, *Applied and computational complex analysis, Vol 1 : Power Series, Integration, Conformal Mapping, Location of Zeros*, Wiley Classics Library, 1988.

[8] N. Loehr, *Combinatorics : Discrete Mathematics and its Applications, Second Edition*, CRC Press, 2017.

[9] F. Mabilat, *Quelques éléments de combinatoire des matrices de $SL(2, \mathbb{Z})$* , Bulletin des Sciences Mathématiques, Vol. 167, Article 102958, (2021), <https://doi.org/10.1016/j.bulsci.2021.102958>.

[10] F. Mabilat, *Combinatoire des sous-groupes de congruence du groupe modulaire*, Annales Mathématiques Blaise Pascal, Vol. 28 no. 1, (2021), pp 7-43, doi : 10.5802/ambp.398. <https://ambp.centre-mersenne.org/articles/10.5802/ambp.398/>.

[11] F. Mabilat, *Finiteness of the number of irreducible λ -quiddities over a finite commutative and unitary ring*, (2024), arXiv:2404.10521.

[12] F. Mabilat, *Number of roots of the continuant over a finite local ring*, (2024), arXiv:2407.19317.

[13] S. Morier-Genoud, V. Ovsienko, *Farey Boat. Continued fractions and triangulations, modular group and polygon dissections*, Jahresbericht der Deutschen Mathematiker-Vereinigung, Vol. 121 no. 2, (2019), pp 91-136.

[14] V. Ovsienko, *Partitions of unity in $SL(2, \mathbb{Z})$, negative continued fractions, and dissections of polygons*, Research in the Mathematical Sciences, Vol. 5 no. 2, (2018), Article 21, 25 pp.

Courriel: flavien.mabilat@univ-reims.fr